

Busca Extremal baseada em Eventos com Acionamento Dinâmico [★]

Victor Hugo Pereira Rodrigues ^{*} Liu Hsu ^{*} Tiago Roux Oliveira ^{**}
Mamadou Diagne ^{***} Pedro Vieira Martins dos Anjos ^{**}

^{*} Universidade Federal do Rio de Janeiro, Rio de Janeiro, RJ
(e-mails: rodrigues.vhp@gmail.com, liu@coep.ufrj.br)

^{**} Universidade do Estado do Rio de Janeiro, Rio de Janeiro, RJ
(e-mail: tiagoroux@uerj.br, pedrovieirama@gmail.com)

^{***} Rensselaer Polytechnic Institute, New York, USA
(e-mail: diagnm@rpi.edu)

Abstract: This paper proposes a dynamic event-triggered scheme for scalar extremum seeking control. Integrating Lyapunov and averaging theories for discontinuous systems, a systematic design procedure and stability analysis are developed. Ultimately, the resulting closed-loop dynamics proves the advantages of integrating both approaches, dynamic event-triggered and extremum seeking. The Zeno behavior is precluded and the local exponential stability of the closed-loop system are guaranteed. An illustration of the benefits of the new control method is presented using consistent simulation results.

Resumo: Este artigo propõe um esquema de acionamento dinâmico baseado em eventos para o controle por busca extremal escalar. Integrando critérios de estabilidade segundo Lyapunov e a teoria da média para sistemas descontínuos, desenvolve-se um procedimento sistemático de análise de estabilidade. O sistema em malha fechada resultante reúne a vantagem de integrar ambas abordagens, sendo eles o acionamento dinâmico baseado em eventos e a busca extremal. O comportamento Zeno é impedido e a estabilidade local exponencial do sistema de malha fechada é garantida. Por fim, um exemplo de simulação é apresentado ilustrando os benefícios dessa nova estratégia de controle.

Keywords: Extremum Seeking, Dynamic Event-Triggered Control, Averaging.

Palavras-chaves: Busca Extremal, Controle Acionado por Eventos, Acionamento Dinâmico, Teoria da Média.

1. INTRODUÇÃO

O Controle por Busca Extremal, do inglês *Extremum Seeking Control* (ESC), é uma estratégia de controle importante que permite ao projetista alcançar e manter a saída de um mapeamento não-linear nas proximidades de seu extremo. Se os parâmetros do mapeamento não-linear estiverem disponíveis, a busca extremal torna-se uma tarefa de controle fácil, pois é possível obter exatamente o gradiente da não-linearidade e o objetivo do controle pode ser definido como a estabilização desse gradiente. Infelizmente, devido a incertezas paramétricas, o gradiente exato não pode ser obtido diretamente e a tarefa de controle não é simples.

Na atual era tecnológica da ciência de redes, pesquisadores estão focando em reduzir os custos de cabeamento desenvolvendo esquemas de comunicação mais seguros e mais velozes, onde a planta e o controlador podem não estar fi-

sicamente conectados, ou podem ainda estar em diferentes localizações geográficas. Esses sistemas de controles por redes oferecem vantagens financeiras tanto de instalação quanto de manutenção [17]. Entretanto, uma das maiores desvantagens é o congestionamento resultando devido ao alto tráfego, podendo resultar em altas latências e perda de pacotes, *i.e.*, dados podem ser perdidos durante o trânsito na rede [7]. Esses problemas estão altamente relacionados aos recursos limitados ou à largura de banda disponível nos canais. Para aliviar ou mitigar esse problema, Controladores Baseados em Eventos, do inglês *Event-Triggered Controllers* (ETC), podem ser utilizados [6].

O ETC executa a tarefa de controle aperiodicamente em resposta à uma condição de acionamento projetada como uma função do estado da planta [16]. Além da propriedade da estabilidade assintótica, [15], essa estratégia reduz o esforço de controle uma vez que as atualizações do sinal de controle e a comunicação de dados apenas ocorrem se forem realmente necessárias [2].

Neste artigo, considera-se o projeto e a análise de um ESC escalar para mapas estáticos dentro de uma estrutura acionada dinamicamente por eventos. Ao invés de técnicas para sistemas híbridos, como apresentadas em [14], a análise de estabilidade é realizada usando o critério de

^{*} Este projeto foi financiado em parte pela Coordenação de Aperfeiçoamento de Pessoal de Nível Superior – Brasil (CAPES) – Código de Financiamento 001. Os autores também agradecem as Agências Brasileiras de Financiamento: Conselho Nacional de Desenvolvimento Científico e Tecnológico (CNPq) e Fundação de Amparo à Pesquisa do Estado do Rio de Janeiro (FAPERJ).

estabilidade de Lyapunov bem como a teoria da média para sistemas descontínuos de modo a caracterizar as propriedades de estabilidade do sistema de malha fechada.

Este artigo está organizado da seguinte forma. A Seção 2 apresenta a formulação do problema de controle a ser solucionado. O sistema de malha fechada é descrito na Seção 3. Os resultados de estabilidade e convergência são apresentados na Seção 4. Os resultados da simulação são mostrados na Seção 5 e as considerações finais estão na Seção 6.

Notação: Ao longo do artigo, os valores absolutos das variáveis escalares são denotados por barras simples $|\cdot|$. Considere $\varepsilon \in [-\varepsilon_0, \varepsilon_0] \subset \mathbb{R}$ e os mapeamentos $\delta_1(\varepsilon)$ e $\delta_2(\varepsilon)$, onde $\delta_1 : [-\varepsilon_0, \varepsilon_0] \rightarrow \mathbb{R}$ e $\delta_2 : [-\varepsilon_0, \varepsilon_0] \rightarrow \mathbb{R}$. Afirma-se que $\delta_1(\varepsilon)$ tem magnitude de ordem $\delta_2(\varepsilon)$, *i.e.*, $\delta_1(\varepsilon) = \mathcal{O}(\delta_2(\varepsilon))$, existindo constantes positivas k e c de modo que $|\delta_1(\varepsilon)| \leq k|\delta_2(\varepsilon)|$, para todo $|\varepsilon| < c$.

2. FORMULAÇÃO DO PROBLEMA PARA BUSCA EXTREMAL BASEADA EM EVENTOS

Para o diagrama de blocos apresentado na Figura 1, defina-se o seguinte mapeamento estático não-linear

$$Q(\theta(t)) = Q^* + \frac{H^*}{2}(\theta(t) - \theta^*)^2, \quad (1)$$

onde $H^* \in \mathbb{R} - \{0\}$ é a Hessiana, $\theta^* \in \mathbb{R}$ é o otimizador desconhecido, e a entrada do mapa $\theta(t) \in \mathbb{R}$ é projetada com estimador em tempo real $\hat{\theta}(t) \in \mathbb{R}$ de θ^* adicionalmente perturbado pela senoide $a \sin(\omega t)$, *i.e.*,

$$\theta(t) = \hat{\theta}(t) + a \sin(\omega t). \quad (2)$$

Da Figura 1, a saída do mapa não-linear (1) pode ser reescrita como

$$\begin{aligned} y(t) &= Q(\theta(t)) \\ &= Q^* + \frac{H^*}{2}(\theta(t) - \theta^*)^2. \end{aligned} \quad (3)$$

2.1 Hipóteses

As seguintes hipóteses são consideradas ao longo do artigo:

(H1) O valor do otimizador $\theta^* \in \mathbb{R}$ e do escalar Q^* são parâmetros desconhecidos do mapa não-linear (1).

(H2) A Hessiana H^* é um parâmetro conhecido.

(H3) O ganho de controle K satisfaz

$$\text{sign}(K) = -\text{sign}(H^*). \quad (4)$$

(H4) Não há atraso devido ao processamento do sensor e do atuador, bem como a transmissão nas ramificações do sensor ao controlador e do controlador ao sensor.

(H5) Apenas $\hat{G}(t)$ está disponível para o projeto do acionamento baseado em eventos.

2.2 Busca Extremal em Tempo Contínuo

Define-se o erro de estimação

$$\tilde{\theta}(t) = \hat{\theta}(t) - \theta^*, \quad (5)$$

e a estimativa do Gradiente dada pela demodulação da saída $y(t)$ por $a \sin(\omega t)$, *i.e.*,

$$\hat{G}(t) = a \sin(\omega t) y(t), \quad (6)$$

na qual a amplitude a é diferente de zero e ω é a frequência [4, 9].

De (2) e (5), pode-se reescrever

$$\theta(t) = \tilde{\theta}(t) + a \sin(\omega t) + \theta^*, \quad (7)$$

e, portanto, substituindo (7) em (3), $y(t)$ pode também ser reescrita como

$$\begin{aligned} y(t) &= Q^* + \frac{H^* a^2}{4} + \frac{H^*}{2} \tilde{\theta}^2(t) + a \sin(\omega t) H^* \tilde{\theta}(t) \\ &\quad - \frac{H^* a^2}{4} \cos(2\omega t). \end{aligned} \quad (8)$$

Então, de (6) e (8), a estimativa do gradiente [3], é dada por

$$\begin{aligned} \hat{G}(t) &= \frac{a^2 H^*}{2} (1 - \cos(2\omega t)) \tilde{\theta}(t) + \frac{a H^*}{2} \sin(\omega t) \tilde{\theta}^2(t) \\ &\quad + \left(a Q^* + \frac{3 a^3 H^*}{8} \right) \sin(\omega t) - \frac{a^3 H^*}{8} \sin(3\omega t). \end{aligned} \quad (9)$$

Observe que o termo quadrático $\tilde{\theta}(t)$ em (9) pode ser negligenciado em uma análise local [1]. Assim, daqui em diante a estimativa do gradiente será dada por

$$\begin{aligned} \hat{G}(t) &= \frac{a^2 H^*}{2} (1 - \cos(2\omega t)) \tilde{\theta}(t) \\ &\quad + \left(a Q^* + \frac{3 a^3 H^*}{8} \right) \sin(\omega t) - \frac{a^3 H^*}{8} \sin(3\omega t). \end{aligned} \quad (10)$$

Por outro lado, da derivada de tempo de (5) e do esquema de ESC da Figura 1, a dinâmica que governa $\hat{\theta}(t)$, bem como $\tilde{\theta}(t)$, é dada por

$$\dot{\tilde{\theta}}(t) = \dot{\hat{\theta}}(t) = u(t), \quad (11)$$

onde u é a lei de controle do ESC a ser projetada como

$$u(t) = K \hat{G}(t), \quad \forall t \geq 0. \quad (12)$$

Tomando-se a derivada temporal de (10) e a equação (11), obtém-se

$$\begin{aligned} \dot{\hat{G}}(t) &= \frac{a^2 H^*}{2} (1 - \cos(2\omega t)) u(t) + a^2 \omega H^* \sin(2\omega t) \tilde{\theta}(t) \\ &\quad + \left(a \omega Q^* + \frac{3 a^2 \omega H^*}{8} \right) \cos(\omega t) - \frac{3 a^2 \omega H^*}{8} \cos(3\omega t). \end{aligned} \quad (13)$$

2.3 Emulação do Controle Baseado em Eventos no Projeto de Busca Extremal

Usando t_k para denotar a sequência de tempo ilimitada monotonicamente crescente, *i.e.*,

$$0 = t_0 < t_1 < \dots < t_k < \dots, \quad k \in \mathbb{Z}^+, \quad \lim_{k \rightarrow \infty} t_k = \infty, \quad (14)$$

com os intervalos de amostragem aperiódicos $\tau_k = t_{k+1} - t_k > 0$.

Considera-se a medição contínua da saída do sistema enquanto a atuação se dá por eventos. O atuador transforma a entrada de controle em tempo discreto $U(t_k)$ para uma entrada de controle contínua por partes $u(t)$ como em sistemas de dados amostrados com *zero-order hold*.

Assume-se que não há atraso nas ramificações sensor-controlador e controlador-atuador, obtém-se

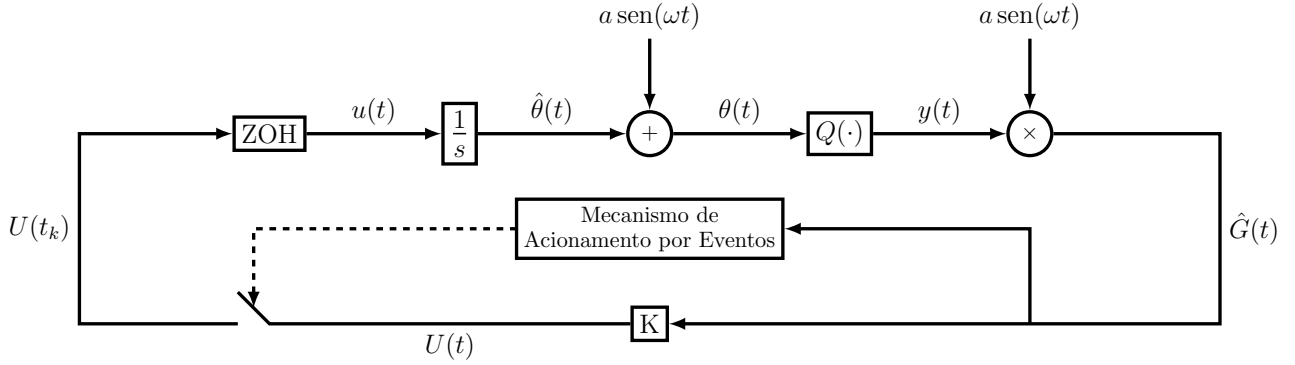


Figura 1. Esquema do controle de busca extremal com acionamento baseado em eventos.

$$u(t) = U_k = U(t_k), \quad t \in [t_k, t_{k+1}[, \quad k \in \mathbb{Z}^+. \quad (15)$$

Então, define-se a entrada de controle para todos $t \in [t_k, t_{k+1}[, k \in \mathbb{N}$,

$$u_k = K\hat{G}(t_k), \quad (16)$$

e introduzimos o vetor de erro

$$e(t) := \hat{G}(t_k) - \hat{G}(t), \quad \forall t \in [t_k, t_{k+1}[, \quad k \in \mathbb{N}. \quad (17)$$

Portanto, utilizando a lei de controle acionada dinamicamente por eventos (16), adicionando e subtraindo o termo $\frac{a^2 H^* K}{2} (1 - \cos(2\omega t)) \hat{G}(t)$ em (13) e adicionando e subtraindo o termo $K\hat{G}(t)$ em (11), chega-se à representação *Input-to-State Stable (ISS)* da dinâmica do $\hat{G}(t)$ e $\tilde{\theta}(t)$ no que diz respeito ao vetor de erro $e(t)$ na equação (17):

$$\begin{aligned} \dot{\hat{G}}(t) &= \frac{a^2 H^* K}{2} (1 - \cos(2\omega t)) \hat{G}(t) \\ &+ \frac{a^2 H^* K}{2} (1 - \cos(2\omega t)) e(t) - \frac{3a^2 \omega H^*}{8} \cos(3\omega t) \\ &+ a^2 \omega H^* \sin(2\omega t) \tilde{\theta}(t) + \left(a\omega Q^* + \frac{3a^2 \omega H^*}{8} \right) \cos(\omega t), \end{aligned} \quad (18)$$

$$\begin{aligned} \dot{\tilde{\theta}}(t) &= K\hat{G}(t_k) + K\hat{G}(t) - K\hat{G}(t) = K\hat{G}(t) + K[\hat{G}(t_k) - \hat{G}(t)] \\ &= \frac{a^2 H^* K}{2} (1 - \cos(2\omega t)) \tilde{\theta}(t) + Ke(t) \\ &+ \left(aQ^* K + \frac{3a^3 H^* K}{8} \right) \sin(\omega t) - \frac{a^3 H^* K}{8} \sin(3\omega t). \end{aligned} \quad (19)$$

Em uma implementação convencional de dados amostrados, os instantes de transmissão são distribuídos equidistantemente ao longo do tempo, significando que $t_{k+1} = t_k + h$, para todo k , e em intervalos bem definidos $h > 0$.

No controle acionado por eventos, essas transmissões são orquestradas por um mecanismo de execução que é acionado aperiódicamente [6].

2.4 Mecanismo de Controle Baseado em Eventos

Na Definição 1 nossa estratégia de acionamento dinâmico é apresentada.

Definição 1. Considere o mapeamento $\Xi : \mathbb{R} \times \mathbb{R} \mapsto \mathbb{R}$ dado por

$$\Xi(\hat{G}, e) = a^2 |H^*| |K| [\sigma \hat{G}^2(t) + \hat{G}(t)e(t)], \quad (20)$$

onde $\sigma \in (0, 1)$, e K é o ganho de controle (16) e $v(t)$ a solução da dinâmica

$$\dot{v}(t) = -\mu v(t) + \Xi(\hat{G}, e), \quad \mu > 0, v(0) \geq 0. \quad (21)$$

O controlador baseado em eventos com condição de acionamento dinâmico consiste de dois componentes:

- Um conjunto de sequência de tempo crescente $I = \{t_0, t_1, t_2, \dots\}$ com $t_0 = 0$ gerado sob a seguinte regra:

- Se $\{t \in \mathbb{R}^+ : t > t_k \wedge v(t) + \gamma \Xi(\hat{G}, e) < 0 = \emptyset\}$, o conjunto dos tempos dos eventos é $I = \{t_0, t_1, \dots, t_k\}$.

- Se $\{t \in \mathbb{R}^+ : t > t_k \wedge v(t) + \gamma \Xi(\hat{G}, e) < 0 \neq \emptyset\}$, o tempo do próximo evento é dado por

$$t_{k+1} = \inf \left\{ t \in \mathbb{R}^+ : t > t_k \wedge v(t) + \gamma \Xi(\hat{G}, e) < 0 \right\}, \quad (22)$$

que é o mecanismo de acionamento dinâmico, no qual $\gamma > 0$ é uma constante.

- Uma ação de controle realimentado com atualização nos instantes de acionamento gerados é dada por

$$u_k = K\hat{G}(t_k), \quad (23)$$

para todo $t \in [t_k, t_{k+1}[, k \in \mathbb{N}$.

3. SISTEMA DE MALHA FECHADA

3.1 Sistema de Escalonamento de Tempo

Utilizando a transformação $\bar{t} = \omega t$ onde

$$\omega := \frac{2\pi}{T}, \quad (24)$$

é possível reescrever a dinâmica (18)–(19) numa diferente escala de tempo tal que

$$\frac{d\hat{G}(\bar{t})}{d\bar{t}} = \frac{1}{\omega} \hat{G} \left(\bar{t}, \hat{G}, \tilde{\theta}, v, \frac{1}{\omega} \right), \quad (25)$$

$$\frac{d\tilde{\theta}(\bar{t})}{d\bar{t}} = \frac{1}{\omega} \tilde{\theta} \left(\bar{t}, \hat{G}, \tilde{\theta}, v, \frac{1}{\omega} \right), \quad (26)$$

$$\frac{dv(\bar{t})}{d\bar{t}} = \frac{1}{\omega} \Upsilon \left(\bar{t}, \hat{G}, \tilde{\theta}, v, \frac{1}{\omega} \right), \quad (27)$$

com

$$\begin{aligned} \hat{G}\left(\bar{t}, \hat{G}, \tilde{\theta}, v, \frac{1}{\omega}\right) &= \frac{a^2 H^* K}{2} (1 - \cos(2\omega t)) \hat{G}(t) \\ &+ \frac{a^2 H^* K}{2} (1 - \cos(2\omega t)) e(t) - \frac{3a^2 \omega H^*}{8} \cos(3\omega t) \\ &+ a^2 \omega H^* \sin(2\omega t) \tilde{\theta}(t) + \left(a\omega Q^* + \frac{3a^2 \omega H^*}{8}\right) \cos(\omega t), \end{aligned} \quad (28)$$

$$\begin{aligned} \tilde{\Theta}\left(\bar{t}, \hat{G}, \tilde{\theta}, v, \frac{1}{\omega}\right) &= \frac{a^2 H^* K}{2} (1 - \cos(2\omega t)) \tilde{\theta}(t) + K e(t) \\ &+ \left(aQ^* K + \frac{3a^3 H^* K}{8}\right) \sin(\omega t) - \frac{a^3 H^* K}{8} \sin(3\omega t), \end{aligned} \quad (29)$$

$$\Upsilon\left(\bar{t}, \hat{G}, \tilde{\theta}, v, \frac{1}{\omega}\right) = -\mu v(t) + \Xi(\hat{G}, e). \quad (30)$$

Um sistema médio apropriado na escala de tempo \bar{t} pode ser derivado na próxima Seção.

3.2 Sistema Médio

Agora, definindo o estado aumentado

$$X^T(\bar{t}) := [\hat{G}(\bar{t}), \tilde{\theta}(\bar{t}), v(\bar{t})], \quad (31)$$

chega-se à dinâmica

$$\frac{dX(\bar{t})}{d\bar{t}} = \frac{1}{\omega} \mathcal{F}\left(\bar{t}, X, \frac{1}{\omega}\right), \quad (32)$$

$$\mathcal{F}^T = [\hat{G}, \tilde{\Theta}, \Upsilon]. \quad (33)$$

Devido a natureza descontínua da estratégia de controle proposta, durante o artigo a teoria da média para sistemas descontínuos é utilizada, como apresentada em [13].

O sistema aumentado (32) é descontínuo, tem um pequeno parâmetro $1/\omega$ assim como a função T -periódica

$\mathcal{F}\left(\bar{t}, X, \frac{1}{\omega}\right)$ em \bar{t} e, portanto, admite-se o método da

média para análise de estabilidade de $\mathcal{F}\left(\bar{t}, X, \frac{1}{\omega}\right)$ em

$\lim_{\omega \rightarrow \infty} \frac{1}{\omega} = 0$, como mostrado em [13], *i.e.*,

$$\frac{dX_{av}(\bar{t})}{d\bar{t}} = \frac{1}{\omega} \mathcal{F}_{av}(X_{av}), \quad (34)$$

$$\mathcal{F}_{av}(X_{av}) = \frac{1}{T} \int_0^T \mathcal{F}(\delta, X_{av}, 0) d\delta. \quad (35)$$

Basicamente, o problema no método da média é determinar em qual sentido o comportamento do sistema autônomo (34) se aproxima do comportamento de um sistema não-autônomo (32) tal que (32) pode ser representada como a perturbação do sistema (34).

Assim, tratando os estados $\hat{G}(\bar{t})$, $e(\bar{t})$ e $\tilde{\theta}(\bar{t})$ como constantes em (18), e utilizando a média dos valores, obtém-se

$$\frac{d\hat{G}_{av}(\bar{t})}{d\bar{t}} = \frac{a^2 H^* K}{2\omega} \hat{G}_{av}(\bar{t}) + \frac{a^2 H^* K}{2\omega} e_{av}(\bar{t}), \quad (36)$$

$$e_{av}(\bar{t}) = \hat{G}_{av}(\bar{t}_k) - \hat{G}_{av}(\bar{t}). \quad (37)$$

Portanto, de (36) é fácil de verificar as relações ISS de $\hat{G}_{av}(\bar{t})$ que dizem respeito à medição da média do erro $e_{av}(\bar{t})$.

Além disso, de (10), obtém-se

$$\hat{G}_{av}(\bar{t}) = \frac{a^2 H^*}{2} \tilde{\theta}_{av}(\bar{t}), \quad (38)$$

e, conseqüentemente,

$$\tilde{\theta}_{av}(\bar{t}) = \frac{2}{a^2 H^*} \hat{G}_{av}(\bar{t}), \quad (39)$$

com a derivada de tempo

$$\frac{d\tilde{\theta}_{av}(\bar{t})}{d\bar{t}} = \frac{a^2 H^* K}{2\omega} \tilde{\theta}_{av}(\bar{t}) + \frac{1}{\omega} K e_{av}(\bar{t}). \quad (40)$$

Portanto, a seguinte lei de acionamento por evento pode ser introduzida para o sistema médio.

Definição 2. Considere $\Xi(\cdot)$ em (20), onde $\sigma \in (0, 1)$, e K é o ganho de controle em (16), $\gamma > 0$ uma constante positiva e $v(t)$ a solução da dinâmica

$$\frac{dv_{av}(\bar{t})}{d\bar{t}} = -\frac{\mu}{\omega} v_{av}(\bar{t}) + \frac{1}{\omega} \Xi(\hat{G}_{av}, e_{av}), \mu > 0, v_{av}(0) \geq 0. \quad (41)$$

O mecanismo de acionamento dinâmico baseado em eventos consiste de dois componentes:

(1) Um conjunto de seqüência de tempo crescente $I = \{\bar{t}_0, \bar{t}_1, \bar{t}_2, \dots\}$ com $\bar{t}_0 = 0$ gerado a partir da seguinte regra:

- Se $\{\bar{t} \in \mathbb{R}^+ : \bar{t} > \bar{t}_k \wedge v_{av}(\bar{t}) + \gamma \Xi(\hat{G}_{av}, e_{av}) < 0 = \emptyset\}$, então o conjunto dos tempos dos eventos é $\bar{I} = \{\bar{t}_0, \bar{t}_1, \dots, \bar{t}_k\}$.

- Se $\{\bar{t} \in \mathbb{R}^+ : \bar{t} > \bar{t}_k \wedge v_{av}(\bar{t}) + \gamma \Xi(\hat{G}_{av}, e_{av}) < 0 \neq \emptyset\}$, o tempo do próximo evento é dado por

$$\bar{t}_{k+1} = \inf\left\{\bar{t} \in \mathbb{R}^+ : \bar{t} > \bar{t}_k \wedge v_{av}(\bar{t}) + \gamma \Xi(\hat{G}_{av}, e_{av}) < 0\right\}, \quad (42)$$

e essa é a versão média do mecanismo de acionamento dinâmico baseado em eventos.

(2) A atualização da ação de controle realimentada na geração dos instantes de acionamento é dada por

$$u_k = K \hat{G}(\bar{t}_k), \quad (43)$$

para todo $\bar{t} \in [\bar{t}_k, \bar{t}_{k+1})$, $k \in \mathbb{N}$.

4. ANÁLISE DE ESTABILIDADE

Teorema 1. Considere a dinâmica média em malha fechada da estimativa do gradiente (36) e a versão média do mecanismo de acionamento por eventos dado pela Definição 2. Considere que as hipóteses (H1)–(H5) sejam satisfeitas. Se ω em (24) é uma constante suficientemente grande, a média da estimativa do gradiente (36) com estado $\hat{G}_{av}(t)$ é localmente assintoticamente estável e, conseqüentemente, $\tilde{\theta}_{av}(t)$ converge exponencialmente para zero. Portanto, existem constantes $m, M_\theta, M_y > 0$ tais que

$$|\theta(t) - \theta^*| \leq M_\theta \exp(-mt) + \mathcal{O}\left(a + \frac{1}{\omega}\right), \quad (44)$$

$$|y(t) - Q^*| \leq M_y \exp(-mt) + \mathcal{O}\left(a^2 + \frac{1}{\omega^2}\right), \quad (45)$$

onde as constantes M_θ e M_y dependem da condição inicial $\theta(0)$.

Inicialmente, perceba que a dinâmica do mecanismo de execução em (22) assegura, para todo $t \in [t_k, t_{k+1}[$,

$$v_{av}(\bar{t}) + \gamma \Xi(\hat{G}_{av}, e_{av}) \geq 0, \quad (46)$$

e, portanto,

$$\Xi(\hat{G}_{av}, e_{av}) \geq -\frac{1}{\gamma} v_{av}(\bar{t}). \quad (47)$$

Agora, utilizando a desigualdade (47), a equação (41) pode ser limitada inferiormente com

$$\begin{aligned} \frac{dv_{av}(\bar{t})}{d\bar{t}} &= -\frac{\mu}{\omega} v_{av}(\bar{t}) + \frac{1}{\omega} \Xi(\hat{G}_{av}, e_{av}) \\ &\geq -\frac{\mu}{\omega} v_{av}(\bar{t}) - \frac{1}{\omega\gamma} v_{av}(\bar{t}) = -\frac{1}{\omega} \left(\mu + \frac{1}{\gamma} \right) v_{av}(\bar{t}). \end{aligned} \quad (48)$$

Invocando [8, Lema da Comparação, pp. 102], a solução $\hat{v}_{av}(\bar{t})$ da seguinte dinâmica de primeira ordem

$$\frac{d\hat{v}_{av}(\bar{t})}{d\bar{t}} = -\frac{1}{\omega} \left(\mu + \frac{1}{\gamma} \right) \hat{v}_{av}(\bar{t}), \quad \hat{v}_{av}(0) = v_{av}(0) > 0, \quad (49)$$

precisamente,

$$\hat{v}_{av}(\bar{t}) = \exp\left(-\frac{1}{\omega} \left(\mu + \frac{1}{\gamma} \right) \bar{t}\right) \hat{v}_{av}(0) > 0, \quad \forall \bar{t} \geq 0, \quad (50)$$

é o limite inferior para $v_{av}(\bar{t})$. Para verificar este fato, observe que, de (48) e (49),

$$\frac{d(v_{av}(\bar{t}) - \hat{v}_{av}(\bar{t}))}{d\bar{t}} \geq -\frac{1}{\omega} \left(\mu + \frac{1}{\gamma} \right) (v_{av}(\bar{t}) - \hat{v}_{av}(\bar{t})). \quad (51)$$

Assim,

$$v_{av}(\bar{t}) - \hat{v}_{av}(\bar{t}) \geq \exp\left(-\frac{1}{\omega} \left(\mu + \frac{1}{\gamma} \right) \bar{t}\right) \underbrace{(v_{av}(0) - \hat{v}_{av}(0))}_{=0} \quad (52)$$

e

$$v_{av}(\bar{t}) \geq \hat{v}_{av}(\bar{t}) > 0, \quad \forall \bar{t} \geq 0. \quad (53)$$

Agora, sendo $v_{av}(\bar{t}) > 0$, para todo $v_{av}(\bar{t}) \neq 0$, considere a seguinte candidata a função média de Lyapunov

$$V_{av}(\bar{t}) = \hat{G}_{av}^2(\bar{t}) + v_{av}(\bar{t}), \quad (54)$$

com derivada temporal

$$\begin{aligned} \frac{dV_{av}(\bar{t})}{d\bar{t}} &= -\frac{a^2 |H^*| |K|}{\omega} \hat{G}_{av}^2(\bar{t}) - \frac{a^2 |H^*| |K|}{\omega} \hat{G}_{av}(\bar{t}) e_{av}(\bar{t}) + \\ &\quad - \frac{\mu}{\omega} v_{av}(\bar{t}) + \frac{1}{\omega} \Xi(\hat{G}_{av}, e_{av}). \end{aligned} \quad (55)$$

Agora, adicionando e subtraindo o termo $\sigma \frac{a^2 |H^*| |K|}{\omega} \hat{G}_{av}^2(\bar{t})$ na equação (55), é possível reescrevê-la como

$$\begin{aligned} \frac{dV_{av}(\bar{t})}{d\bar{t}} &= -\frac{(1-\sigma)a^2 |H^*| |K|}{\omega} \hat{G}_{av}^2(\bar{t}) - \frac{1}{\omega} \Xi(\hat{G}_{av}, e_{av}) + \\ &\quad - \frac{\mu}{\omega} v_{av}(\bar{t}) + \frac{1}{\omega} \Xi(\hat{G}_{av}, e_{av}) \\ &= -\frac{(1-\sigma)a^2 |H^*| |K|}{\omega} \hat{G}_{av}^2(\bar{t}) - \frac{\mu}{\omega} v_{av}(\bar{t}). \end{aligned} \quad (56)$$

Usando (54), um majorante para (56) é

$$\frac{dV_{av}(\bar{t})}{d\bar{t}} \leq -\frac{1}{\omega} \min\{(1-\sigma)a^2 |H^*| |K|, \mu\} V_{av}(\bar{t}). \quad (57)$$

Então, invocando-se o Lema da Comparação [8], um limitante superior \bar{V}_{av} para V_{av} pode ser encontrado como

$$V_{av}(\bar{t}) \leq \bar{V}_{av}(\bar{t}), \quad \forall \bar{t} > 0. \quad (58)$$

dado pela solução da seguinte dinâmica

$$\frac{d\bar{V}_{av}}{d\bar{t}} = -\frac{1}{\omega} \min\{(1-\sigma)a^2 |H^*| |K|, \mu\} \bar{V}_{av}, \quad (59)$$

$$\bar{V}_{av}(\bar{t}=0) = V_{av}(\bar{t}=0). \quad (60)$$

Em outras palavras,

$$\bar{V}_{av}(\bar{t}) = \exp\left(-\frac{\min\{(1-\sigma)a^2 |H^*| |K|, \mu\}}{\omega} \bar{t}\right) V_{av}(\bar{t}=0), \quad (61)$$

e a desigualdade (58) é reescrita como

$$V_{av}(\bar{t}) \leq \exp\left(-\frac{\min\{(1-\sigma)a^2 |H^*| |K|, \mu\}}{\omega} \bar{t}\right) V_{av}(\bar{t}=0). \quad (62)$$

Agora, obtém-se

$$\hat{G}_{av}^2(\bar{t}) \leq V_{av}(\bar{t}) = \hat{G}_{av}^2(\bar{t}) + v_{av}(\bar{t}) \quad (63)$$

$$\begin{aligned} &\leq \bar{V}_{av}(\bar{t}) = \exp\left(-\frac{\min\{(1-\sigma)a^2 |H^*| |K|, \mu\}}{\omega} \bar{t}\right) \times \\ &\quad \times \left(\hat{G}_{av}^2(0) + v_{av}(0)\right). \end{aligned} \quad (64)$$

Note que existe um escalar positivo κ tal que

$$v_{av}(0) \leq \kappa \hat{G}_{av}^2(0), \quad (65)$$

logo é possível escrever

$$\hat{G}_{av}^2(\bar{t}) \leq \exp\left(-\frac{\min\{(1-\sigma)a^2 |H^*| |K|, \mu\}}{\omega} \bar{t}\right) (1+\kappa) \hat{G}_{av}^2(0). \quad (66)$$

Conseqüentemente,

$$\begin{aligned} |\hat{G}_{av}(\bar{t})| &\leq \exp\left(-\frac{\min\{(1-\sigma)a^2 |H^*| |K|, \mu\}}{2\omega} \bar{t}\right) \sqrt{(1+\kappa)} \times \\ &\quad \times |\hat{G}_{av}(0)|. \end{aligned} \quad (67)$$

Como (18) é T -periódica em t , $1/\omega$ é um parâmetro positivo pequeno, e, da desigualdade (67), a origem $\hat{G}_{av} = 0$ é ao menos um ponto de equilíbrio exponencialmente estável do sistema de malha fechada acionado por eventos. Então, invocando-se [13, Teorema 2], existe um limitante superior para (10) tal que

$$\begin{aligned} |\hat{G}(t)| &\leq |\hat{G}_{av}(t)| + \mathcal{O}\left(\frac{1}{\omega}\right) \\ &\leq \exp\left(-\frac{\min\{(1-\sigma)a^2 |H^*| |K|, \mu\}}{2} t\right) \sqrt{(1+\kappa)} \times \\ &\quad \times |\hat{G}_{av}(0)| + \mathcal{O}\left(\frac{1}{\omega}\right). \end{aligned} \quad (68)$$

Apesar da análise ser focada na convergência de $\hat{G}_{av}(\bar{t})$ e, conseqüentemente, $\hat{G}(t)$, os resultados obtidos através de (68) podem ser facilmente estendidos para a variável $\hat{\theta}_{av}(\bar{t})$ e $\hat{\theta}(t)$. Observe que, utilizando (38) e a desigualdade (67), obtém-se

$$\begin{aligned} |\tilde{\theta}_{av}(\bar{t})| \leq & \exp\left(-\frac{\min\{(1-\sigma)a^2|H^*||K|, \mu\}}{2\omega}\bar{t}\right)\sqrt{(1+\kappa)} \times \\ & \times |\tilde{\theta}_{av}(0)|, \end{aligned} \quad (69)$$

e invocando [13, Teorema 2], obtém-se

$$\begin{aligned} |\tilde{\theta}(t)| \leq & \exp\left(-\frac{\min\{(1-\sigma)a^2|H^*||K|, \mu\}}{2}t\right)\sqrt{(1+\kappa)} \times \\ & \times |\tilde{\theta}_{av}(0)| + \mathcal{O}\left(\frac{1}{\omega}\right). \end{aligned} \quad (70)$$

Agora, de (7), temos

$$\theta(t) - \theta^* = \tilde{\theta}(t) + a \sin(\omega t), \quad (71)$$

a qual o valor absoluto satisfaz

$$\begin{aligned} |\theta(t) - \theta^*| = & |\tilde{\theta}(t) + S(t)| \leq |\tilde{\theta}(t)| + |a \sin(\omega t)| \\ \leq & \exp\left(-\frac{\min\{(1-\sigma)a^2|H^*||K|, \mu\}}{2}t\right)\sqrt{(1+\kappa)} \times \\ & \times |\theta(0) - \theta^*| + \mathcal{O}\left(a + \frac{1}{\omega}\right). \end{aligned} \quad (72)$$

Definindo a variável de erro $\tilde{y}(t)$ como

$$\tilde{y}(t) := y(t) - Q^*, \quad (73)$$

e usando (3), bem como a Desigualdade de Cauchy-Schwarz, seu valor absoluto satisfaz

$$|\tilde{y}(t)| = |y(t) - Q^*| = |H^*||\theta(t) - \theta^*|^2, \quad (74)$$

e seu limite superior com (72) é dado por

$$\begin{aligned} |y(t) - Q^*| \leq & \exp\left(-\frac{\min\{(1-\sigma)a^2|H^*||K|, \mu\}}{2}t\right)|H^*| \times \\ & \times \left[(1+\kappa)|\theta(0) - \theta^*| + 2\left(a + \frac{1}{\omega}\right)\right]|\theta(0) - \theta^*| + \\ & + \mathcal{O}\left(a^2 + \frac{1}{\omega^2}\right). \end{aligned} \quad (75)$$

Por esse motivo, definindo as constantes positivas

$$m = \frac{\min\{(1-\sigma)a^2|H^*||K|, \mu\}}{2}, \quad (76)$$

$$M_\theta = |\theta(0) - \theta^*|, \quad (77)$$

$$M_y = \left[|\theta(0) - \theta^*| + 2\left(a + \frac{1}{\omega}\right)\right]|\theta(0) - \theta^*|, \quad (78)$$

as desigualdades (72) e (75) satisfazem (44) e (45), respectivamente.

Observe que, de (42) e utilizando a desigualdade de Peter-Paul [18], podemos escrever $cd \leq \frac{c^2}{2\epsilon} + \frac{\epsilon d^2}{2}$, para todo $c, d, \epsilon > 0$, with $c = |e_{av}(\bar{t})|$, $d = |\hat{G}_{av}(\bar{t})|$ e $\epsilon = \sigma$, para todo $\bar{t} \in [t_k, t_{k+1}[$, o seguinte limite inferior é verificado

$$\begin{aligned} v_{av}(\bar{t}) + \gamma a^2 |H^*||K| \left[\sigma \hat{G}_{av}^2(\bar{t}) + e_{av}(\bar{t}) \hat{G}_{av}(\bar{t}) \right] \\ \geq v_{av}(\bar{t}) + \gamma a^2 |H^*||K| \left[\sigma \hat{G}_{av}^2(\bar{t}) - |e_{av}(\bar{t})| |\hat{G}_{av}(\bar{t})| \right] \\ \geq v_{av}(\bar{t}) + \gamma a^2 |H^*||K| \sigma \hat{G}_{av}^2(\bar{t}) + \\ - \frac{\gamma a^2 |H^*||K|}{2} \left(\sigma \hat{G}_{av}^2(\bar{t}) + \frac{1}{\sigma} e_{av}^2(\bar{t}) \right) \\ = v_{av}(\bar{t}) + \gamma \left(q |\hat{G}_{av}(\bar{t})|^2 - p |e_{av}(\bar{t})|^2 \right), \end{aligned} \quad (79)$$

onde

$$q = \frac{\gamma a^2 |H^*||K| \sigma}{2} \quad \text{e} \quad p = \frac{\gamma a^2 |H^*||K|}{2\sigma}. \quad (80)$$

A referência [5] mostra que um limitante inferior para o intervalo entre execuções pode ser encontrado como o tempo que a função

$$\phi(\bar{t}) = \frac{\sqrt{\gamma p} |e_{av}(\bar{t})|}{\sqrt{v_{av}(\bar{t}) + \gamma q |\hat{G}_{av}(\bar{t})|^2}}, \quad (81)$$

leva para sair de 0 e alcançar o valor 1. A derivada de $\phi(\bar{t})$ em (81) é dada por

$$\begin{aligned} \frac{d\phi(\bar{t})}{d\bar{t}} = & \frac{\sqrt{\gamma p} e_{av}(\bar{t}) \frac{de_{av}(\bar{t})}{d\bar{t}}}{|e_{av}(\bar{t})| \sqrt{v_{av}(\bar{t}) + \gamma q |\hat{G}_{av}(\bar{t})|^2}} + \\ & - \frac{\sqrt{\gamma p} |e_{av}(\bar{t})|}{2(v_{av}(\bar{t}) + \gamma q |\hat{G}_{av}(\bar{t})|^2)^{3/2}} \times \\ & \times \left(\frac{dv_{av}(\bar{t})}{d\bar{t}} + \gamma q \hat{G}_{av}(\bar{t}) \frac{d\hat{G}_{av}(\bar{t})}{d\bar{t}} \right), \end{aligned} \quad (82)$$

e satisfaz a desigualdade

$$\begin{aligned} \frac{d\phi(\bar{t})}{d\bar{t}} \leq & \frac{a^2 |H^*||K|}{2\omega} \sqrt{\frac{p}{q}} + \frac{a^2 |H^*||K|}{2\omega} \phi(\bar{t}) + \frac{1}{2\omega\gamma} \phi^3(\bar{t}) + \\ & + \frac{a^2 |H^*||K|}{2\omega} \sqrt{\frac{q}{p}} \phi^2(\bar{t}) + \frac{\mu}{2\omega} \phi(\bar{t}) + \\ & + \frac{\gamma q |\hat{G}_{av}(\bar{t})|^2}{2\omega(v_{av}(\bar{t}) + \gamma q |\hat{G}_{av}(\bar{t})|^2)} \left(-\mu - \frac{1}{\gamma} + 2 \frac{a^2 |H^*||K|}{2} \right) \phi(\bar{t}). \end{aligned} \quad (83)$$

Consequentemente, se $a^2 |H^*||K| \leq \mu$, obtém-se

$$\omega \frac{d\phi(\bar{t})}{d\bar{t}} \leq \frac{a^2 |H^*||K|}{2} \left(\sqrt{\frac{p}{q}} + 2\phi(\bar{t}) + \sqrt{\frac{q}{p}} \phi^2(\bar{t}) \right). \quad (84)$$

Utilizando a transformação $t = \frac{\bar{t}}{\omega}$, a desigualdade (84) e invocando o Lema da Comparação [8], um limite inferior para o tempo de interexecução é encontrado como

$$\tau^* = \int_0^1 \frac{1}{b_0 + b_1 \xi + b_2 \xi^2 + b_3 \xi^3} d\xi, \quad (85)$$

com $b_0 = \frac{a^2 |H^*||K|}{2\sigma}$, $b_1 = a^2 |H^*||K|$, $b_2 = \frac{a^2 |H^*||K| \sigma}{2}$ e $b_3 = 0$.

Se $a^2 |H^*||K| > \mu$ e $\gamma \leq 1/(a^2 |H^*||K| - \mu)$, a desigualdade (83) é limitada superiormente por

$$\begin{aligned} \omega \frac{d\phi(\bar{t})}{d\bar{t}} \leq & \frac{a^2 |H^*||K|}{2} \sqrt{\frac{p}{q}} + \left(\frac{\mu}{2} + \frac{a^2 |H^*||K|}{2} \right) \phi(\bar{t}) + \\ & + \frac{a^2 |H^*||K|}{2} \sqrt{\frac{q}{p}} \phi^2(\bar{t}) + \left(\frac{a^2 |H^*||K|}{2} - \frac{\mu}{2} \right) \phi^3(\bar{t}), \end{aligned} \quad (86)$$

e o limite inferior τ^* satisfaz a equação (85) com constantes

$$\begin{aligned} b_0 = & \frac{a^2 |H^*||K|}{2\sigma}, \quad b_1 = \frac{\mu + a^2 |H^*||K|}{2}, \quad b_2 = \frac{a^2 |H^*||K| \sigma}{2} \quad \text{e} \\ b_3 = & \frac{a^2 |H^*||K| - \mu}{2}. \end{aligned}$$

Finalmente, se $a^2 |H^*||K| > \mu$ e $\gamma > 1/(a^2 |H^*||K| - \mu)$, obtemos

$$\omega \frac{d\phi(\bar{t})}{d\bar{t}} \leq \frac{a^2|H^*||K|}{2} \sqrt{\frac{p}{q}} + \left(a^2|H^*||K| - \frac{1}{2\gamma} \right) \phi(\bar{t}) + \frac{a^2|H^*||K|}{2} \sqrt{\frac{q}{p}} \phi^2(\bar{t}) + \frac{1}{2\gamma} \phi^3(\bar{t}), \quad (87)$$

e o limite inferior τ^* satisfaz a equação (85) com constantes $b_0 = \frac{a^2|H^*||K|}{2\sigma}$, $b_1 = a^2|H^*||K| - \frac{1}{2\gamma}$, $b_2 = \frac{a^2|H^*||K|\sigma}{2}$ e $b_3 = \frac{1}{2\gamma}$.

Portanto, o comportamento Zeno [5] é evitado o que finaliza a prova. \square

5. RESULTADOS DAS SIMULAÇÕES

A fim de destacar as ideias principais da estratégia proposta de busca extremal baseada em eventos com acionamento dinâmico, o mapa não-linear (1) tem a entrada $\theta(t) \in \mathbb{R}$, saída $y(t) \in \mathbb{R}$, Hessiana $H = -1$ e parâmetros desconhecidos $Q^* = 7$ e $\theta^* = 5$. Os sinais de *dither* têm parâmetros $a = 0.1$, $\omega = 3$ [rad/sec], e foram selecionados o parâmetro de acionamento por eventos $\sigma = 0.1$, $\mu = 0.4320$ e $\gamma = 0.0542$. O ganho de controle é $K = 30$ e a condições iniciais $\hat{\theta}(0) = 10$ e $v(0) = 0$.

Nas Figuras 2(a), 2(b) e 2(c), o estimador de Gradiente, sua versão de *sample-and-hold* e o erro $e(t)$ são apresentados, respectivamente. A busca extremal baseada em eventos com acionamento dinâmico garante a estabilização da estimativa do Gradiente levando a entrada $\theta(t)$ a uma pequena vizinhança do otimizador θ^* , veja as Figuras 2(g) e 2(h). As Figuras 2(e) e 2(f) mostram o comportamento aperiódico do quanto frequente o sinal de controle $U(t)$ é atualizado, veja também a Figura 2(d) para o sinal de controle. Durante 300 segundos de simulação, ocorreram 98 atualizações do sinal de controle e, conseqüentemente, a média do intervalo de inter-execução foi igual a 3.0612 segundos.

6. CONCLUSÃO

Neste artigo foi proposto um esquema de controle por busca extremal baseada em eventos com acionamento dinâmico. A contribuição do tratamento das dinâmicas específicas de aprendizado híbrido [14] constituídas pelo *sample-and-hold* é clara. A abordagem fornece formas funcionais explícitas da convergência exponencial caracterizando as propriedades da estabilidade do sistema em malha fechada. Os resultados das simulações demonstram as vantagens do esquema proposto.

REFERÊNCIAS

[1] K. B. Ariyur and M. Krstić, *Real-Time Optimization by Extremum-Seeking Control*. Wiley, Canada, 2003.
 [2] D. P. Borgers and W. P. M. H. Heemels, On minimum inter-event times in event-triggered control. In *2013 IEEE 52nd IEEE Conference on Decision and Control (CDC)*, 7370–7375, 2013.
 [3] J. Feiling, S. Koga, M. Krstić and T. R. Oliveira, Extremum seeking for static maps with actuation dynamics governed by diffusion PDEs. *Automatica*, 95, 197–206, 2018.

[4] A. Ghaffari, M. Krstić and D. Nešić. Multivariable newton-based extremum seeking. *Automatica*, 48, 1759–1767, 2012.
 [5] A. Girard. Dynamic triggering mechanism for event-triggered control. *IEEE Transactions on Automatic Control*, 60, 1992–1997, 2014.
 [6] W. P. M. H. Heemels, K. H. Johansson and P. Tabuada, An introduction to event-triggered and self-triggered control. In *2012 IEEE 51st IEEE Conference on Decision and Control (CDC)*, 3270–3285, 2012.
 [7] J. P. Hespanha, P. Naghshtabrizi and Y. Xu, A survey of recent results in networked control systems, *Proceedings of the IEEE*, 95(1), 138–162, 2007.
 [8] H. K. Khalil, *Nonlinear Systems*, Prentice Hall, Upper Saddle River, New Jersey, 2002.
 [9] M. Krstić, Extremum seeking control. In J. Baillieul and T. Samad (eds.), *Encyclopedia of Systems and Control*, volume 1, 1–5. Springer, London, 1 edition, 2014.
 [10] M. Krstić and H. H. Wang, Stability of extremum seeking feedback for general nonlinear dynamic systems, *Automatica*, 36, 595–601, 2000.
 [11] M. Leblanc, Sur l'électrification des chemins de fer au moyen de courants alternatifs de fréquence élevée, *Revue Générale de l'Electricité*, XII(8), 275–277, 1922.
 [12] N. Piskunov, *Differential and Integral Calculus*, MIR Publishers, Moscow, 1969.
 [13] V. A. Plotnikov, Averaging of differential inclusions, *Ukrainian Mathematical Journal*, 31, 454–457, 1979.
 [14] J. I. Poveda and A. R. Teel, A framework for a class of hybrid extremum seeking controllers with dynamic inclusions, *Automatica*, 76, 113–126, 2017.
 [15] P. Tabuada, Event-triggered real-time scheduling of stabilizing control tasks, *IEEE Transactions on Automatic Control*, 52, 1680–1685, 2007.
 [16] P. Tabuada and X. Wang, Preliminary results on state-triggered scheduling of stabilizing control tasks, In *2006 IEEE 45th IEEE Conference on Decision and Control (CDC)*, 282–287, 2006.
 [17] X. M. Zhang, Q. L. Han, X. Ge, D. Ding, L. Ding, D. Yue and C. Peng, Networked control systems: A survey of trends and techniques, *IEEE/CAA Journal of Automatica Sinica*, 7(1), 1–17, 2020.
 [18] F. Warner, *Foundations of differentiable manifolds and Lie group*, Scott Foresman and Company, Chicago, Illinois, 1971.

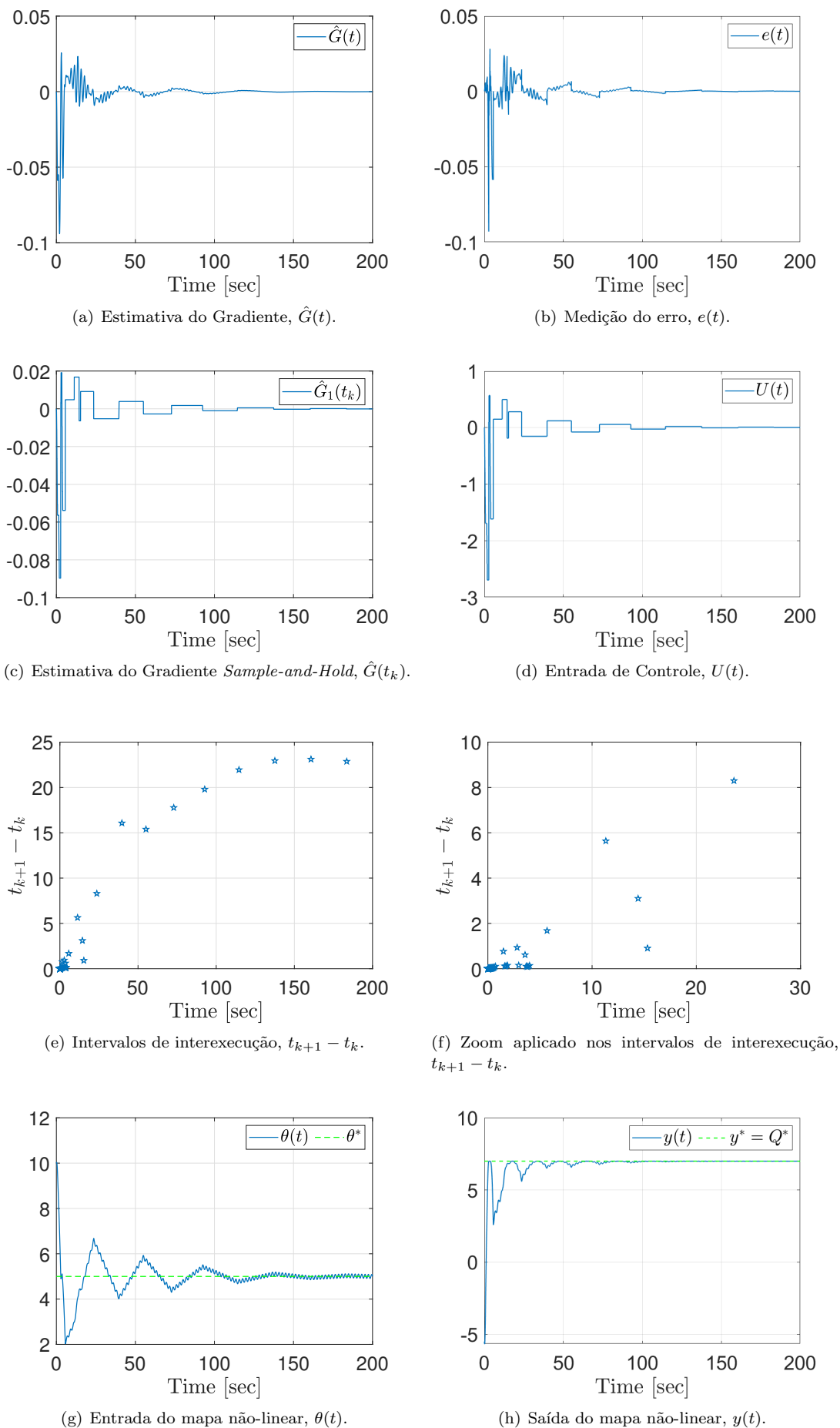


Figura 2. Sistema de Controle por Busca Extremal com Acionamento Baseado em Eventos.